

Quelques exemples d'utilisation de combinatoire en théorie des nombres

Monastir, 2014

Emmanuel Royer

Laboratoire de mathématiques

UMR 6620

Université Blaise Pascal

Clermont-Ferrand

Soit f une forme primitive de poids k et niveau sans facteur carré N . On rappelle que l'ensemble $H_k^*(N)$ de telles formes est une base de l'espace vectoriel des formes modulaires paraboliques qui sont nouvelles. En particulier, si $f \in H_k^*(N)$, alors f admet un développement de Fourier de la forme

$$f(z) = \sum_{n=1}^{+\infty} \lambda_f(n) n^{(k-1)/2} e(nz).$$

On a

$$\lambda_f(n) = \prod_{p^v \parallel n} X_v(\lambda_f(p))$$

où X_v est un polynôme de Tchebytchef défini sur $[-2, 2]$ par

$$X_v(2 \cos \theta) = \frac{\sin(v+1)\theta}{\sin \theta}.$$

Si $r \geq 1$, la fonction L de carré symétrique de f est définie par

$$L(\text{Sym}^2 f, s) = \prod_{p|N} \left(1 - \frac{\lambda_f(p)^2}{p^s}\right)^{-1} \\ \times \prod_{p \nmid N} \det \left(I - \frac{1}{p^s} \text{Sym}^2 \begin{pmatrix} e^{i\theta_f(p)} & 0 \\ 0 & e^{-i\theta_f(p)} \end{pmatrix} \right)^{-1}$$

où $\theta_f(p) = 2 \cos \theta_f(p)$. Le produit eulérien se développe en une série de Dirichlet

$$L(\text{Sym}^2 f, s) = \sum_{n=1}^{+\infty} \lambda_{\text{Sym}^2 f}(n) n^{-s}$$

absolument convergente pour $\Re s > 1$.

La suite $(\lambda_{\text{Sym}^2 f}(n))_{n \geq 1}$ jouit d'intéressantes propriétés. Kamel Mazouda a par exemple montré en 2009 que lorsque p est fixé et f varie, alors la suite $(\lambda_{\text{Sym}^2 f}(p))_{f \in \mathbb{H}_k^*(N)}$ est asymptotiquement équidistribuée pour la mesure

$$\frac{p+1}{2\pi} \frac{1}{(p^{1/2} + p^{-1/2})^2 - (x+1)} \sqrt{\frac{3-x}{1+x}} dx.$$

Si F est continue sur $[-1, 3]$, alors

$$\begin{aligned} \lim_{N \rightarrow +\infty} \frac{1}{\mathbb{H}_k^*(N)} \sum_{f \in \mathbb{H}_k^*(N)} F(\lambda_{\text{Sym}^2 f}(p)) \\ = \int_{-1}^3 F(x) \frac{p+1}{2\pi} \frac{1}{(p^{1/2} + p^{-1/2})^2 - (x+1)} \sqrt{\frac{3-x}{1+x}} dx. \end{aligned}$$

Grâce aux travaux de Shimura, on sait que la fonction $L(\text{Sym}^2 f, s)$ admet un prolongement en fonction entière et satisfait à l'équation fonctionnelle

$$\begin{aligned} L(\text{Sym}^2 f_\infty, s) L(\text{Sym}^2 f, s) \\ = (N^2)^{-s+1/2} L(\text{Sym}^2 f_\infty, 1-s) L(\text{Sym}^2 f, 1-s) \end{aligned}$$

avec

$$L(\text{Sym}^2 f_\infty, s) = \pi^{-3s/2} \Gamma\left(\frac{s+1}{2}\right) \Gamma\left(\frac{s+k-1}{2}\right) \Gamma\left(\frac{s+k}{2}\right).$$

Pour tout entier $n \geq 0$, on définit

$$M_{-n}(N) = \frac{1}{\#\mathbf{H}_k^*(N)} \sum_{f \in \mathbf{H}_k^*(N)} L(\text{Sym}^2 f, 1)^{-n-1}.$$

Par des techniques classiques d'analyse, on démontre que

$$M_{-n}(N) = M_{-n} + O_{-n} \left(N^{-\varepsilon} + \frac{N^\varepsilon}{P^-(N)} \right)$$

où $P^-(N)$ est le plus petit facteur premier de N . Lorsque N tend vers $+\infty$ sans petit facteur carré, les moments négatifs admettent donc une limite que nous voulons étudier.

Cette limite est une série de Dirichlet

$$M_{-n} = \frac{1}{\zeta(2)} \sum_{r=1}^{+\infty} \frac{m_{-n}(r)}{r} = \frac{1}{\zeta(2)} \prod_{p \in \mathcal{P}} \sum_{v=0}^{+\infty} \frac{m_{-n}(p^v)}{p^v}.$$

avec

$$m_{-n}(r) = \sum_{\substack{\mathbf{a}, \mathbf{b}, \mathbf{c} \in \mathbb{N}^n \\ \prod_{i=1}^n (a_i b_i^2 c_i^3) = r}} \left(\prod_{j=1}^n \mu(a_j b_j c_j) \mu(b_j) \right) \sum_{\substack{\mathbf{d} \in \mathcal{E}_n(\mathbf{a}_1 b_1, \dots, \mathbf{a}_n b_n) \\ \prod_{i=1}^n a_i b_i = \prod_{i=1}^n d_i}} 1$$

où

$$\mathcal{E}_n(\mathbf{b}) = \left\{ \mathbf{d} \in \mathbb{N}^{n-1} : d_i \mid \left(\frac{b_1 \cdots b_i}{d_1 \cdots d_{i-1}}, b_{i+1} \right), \forall i \in [1, n-1] \right\}.$$

La multiplicativité des coefficients de Dirichlet permet de n'avoir à étudier que $m_{-n}(p^v)$.

La fonction de Möbius, μ transforme l'étude de $m_{-n}(p^v)$ en un question de comptage combinatoire.

Pour $n \geq 2$ et $\nu \geq 0$, on définit $a_n(\nu)$ comme le nombre de

$$(\alpha, \beta, \gamma, \delta) \in \{0, 1\}^n \times \{0, 1\}^n \times \{0, 1\}^n \times \{0, 1, 2\}^{n-1}$$

tels que

- ➊ si $i \in \{1, \dots, n\}$, alors $0 \leq \alpha_i + \beta_i + \gamma_i \leq 1$
- ➋ si $i \in \{1, \dots, n-1\}$, alors

$$\delta_i \leq 2 \min \left(\sum_{j=1}^i (\alpha_j + \beta_j) - \sum_{j=1}^{i-1} \delta_j, \alpha_{i+1} + \beta_{i+1} \right)$$

➌

$$\sum_{i=1}^n (\alpha_i + 2\beta_i + 3\gamma_i) = \nu$$

➍

$$\sum_{i=1}^n (\alpha_i + \beta_i) = \sum_{i=1}^{n-1} \delta_i.$$

On a alors

$$M_n = \frac{1}{\zeta(2)} \prod_{p \in \mathcal{P}} f_n\left(-\frac{1}{p}\right)$$

avec

$$f_n(X) = \sum_{\nu=0}^{3n} a_n(\nu) X^\nu.$$

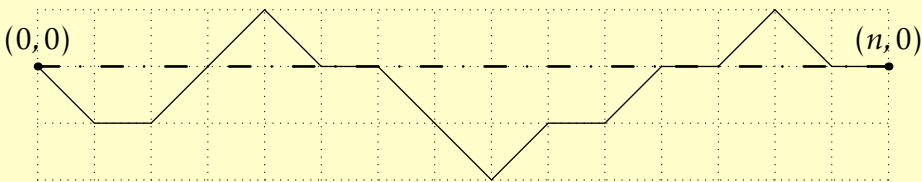
Cette expression conduit ensuite à

$$M_{-n} = \frac{1}{\zeta(2)\zeta(3)^n} \prod_{p \in \mathcal{P}} \sum_{h=0}^n (-1)^h \binom{n}{h} R_h \left(\frac{p}{p^2 + p + 1} \right)^h$$

où R_h est le nombre de chemin de Riordan de longueur $h - 2$ ($R_0 = 1, R_1 = 0$).

On appelle nombre de Riordan d'indice $n + 2$ le nombre de chemin de \mathbb{Z}^2 reliant $(0,0)$ à $(n,0)$

- 1 par des pas $(1,0)$, $(1,1)$ ou $(1,-1)$
- 2 sans jamais passer par des points d'ordonnée strictement positive
- 3 *sauf* par la succession d'un double pas $(1,1)-(1,-1)$.



La série génératrice est

$$\sum_{n=0}^{+\infty} R_n x^n = \frac{2}{1+x+\sqrt{1-2x-3x^2}}.$$

On rappelle que

$$M_{-n} = \frac{1}{\zeta(2)\zeta(3)^n} \prod_{p \in \mathcal{P}} \underbrace{\sum_{h=0}^n (-1)^h \binom{n}{h} R_h \left(\frac{p}{p^2 + p + 1} \right)^h}_{\ell_n \left(\frac{p}{p^2 + p + 1} \right)}$$

La série génératrice des nombres de Riordan permet d'obtenir l'expression intégrale

$$\ell_n(x) = \frac{4}{\pi} \int_0^{\pi/2} (1 + x - 4x \sin^2 \theta)^n \cos^2 \theta \, d\theta$$

puis d'obtenir

$$\log M_{-n} = n \log \log n + n \log \left(\frac{e^\gamma}{\zeta(2)^2} \right) + O\left(\frac{n}{\log n} \right).$$

De

$$\log M_{-n} = n \log \log n + n \log \left(\frac{e^\gamma}{\zeta(2)^2} \right) + O\left(\frac{n}{\log n} \right).$$

on déduit, pour tout $K > 0$ l'existence de N et $f \in H_k^*(N)$ tel que

$$0 \leq L(\text{Sym}^2 f, 1)^{-1} \leq K.$$

Pour $n \geq 0$, on définit

$$M_n(N) = \frac{1}{H_k^*(N)} \sum_{f \in H_k^*(N)} L(\text{Sym}^2 f, 1)^{n-1}$$

et on a

$$M_n(N) = M_n + O\left(N^{-\varepsilon} + \frac{N^\varepsilon}{P^-(N)}\right)$$

avec

$$M_n = \zeta(2)^{n-1} \sum_{r=1}^{+\infty} \frac{m_n(r)}{r} = \zeta(2)^{n-1} \prod_{p \in \mathcal{P}} \sum_{v=0}^{+\infty} \frac{m_n(p^v)}{p^v}$$

et

$$m_n(r) = \sum_{\substack{\mathbf{b} \in \mathbb{N}^n \\ \prod_{i=1}^n b_i = r}} \sum_{\substack{\mathbf{d} \in \mathcal{E}_n(\mathbf{b}) \\ \prod_{i=1}^{n-1} d_i = r}} 1.$$

L'absence de fonction de Möbius dans l'expression des coefficients de Dirichlet rend la combinatoire plus difficile. On trouve cependant

$$M_{n+2} = \frac{\zeta(2)^{3n+2} \zeta(3)^n}{\zeta(6)^n} \prod_{p \in \mathcal{P}} \ell_n \left(-\frac{p}{p^2 - p + 1} \right).$$

Une première étape consiste à montrer

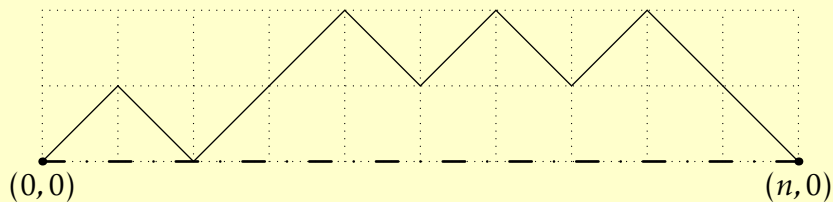
$$M_n = \zeta(2)^{n-1} \prod_{p \in \mathcal{P}} S_n \left(\frac{1}{p} \right)$$

avec

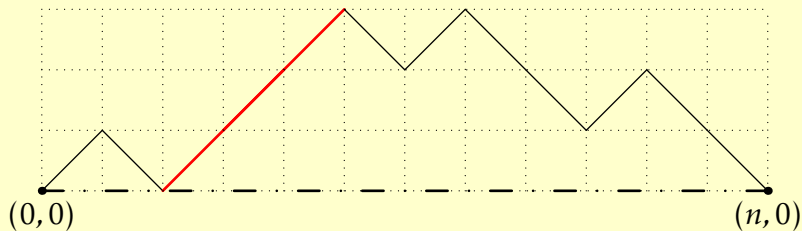
$$S_n(q) = \sum_{\substack{\alpha \in \mathbb{N}^{n+1} \\ \alpha_0 = \alpha_n = 0}} \prod_{i=0}^{n-1} (q^{|\alpha_i - \alpha_{i+1}|} + \dots + q^{\alpha_i + \alpha_{i+1}}).$$

On relie cette quantité aux chemins de Dyck avec statistiques prescrites.

Un chemin de Dyck est un chemin de \mathbb{Z}^2 reliant $(0,0)$ à $(n,0)$ par des pas $(1,1)$ ou $(1,-1)$ et ne passant jamais sous l'axe des abscisses.

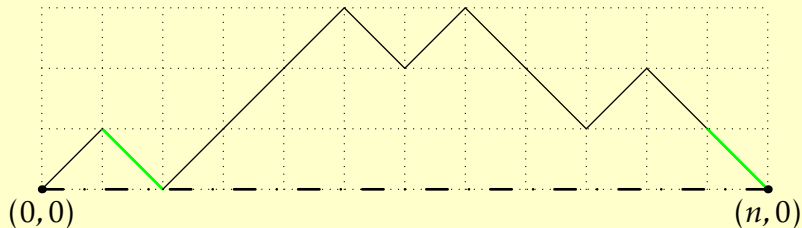


Une double montée d'un chemin de Dyck est une succession de deux pas $(1, 1)$.



On note $DBM(D)$ le nombre de montée d'un chemin de Dyck D .
Ici, $DBM(D) = 2$.

Un pas de retour d'un chemin de Dyck est un pas dont l'extrémité droite touche l'axe des abscisses.



On note $RET(D)$ le nombre de montée d'un chemin de Dyck D . Ici, $RET(D) = 2$.

On note \mathcal{D}_n l'ensemble des chemins de Dyck de point terminal $(n,0)$. La fonction génératrice des chemins de \mathcal{D}_n de statistique (RET, DBM) est

$$A_n(x, y) = \sum_{D \in \mathcal{D}_n} x^{RET(D)} y^{DBM(D)}.$$

On montre que

$$\sum_{n=0}^{+\infty} A_n(x, y) t^n =$$

$$\frac{2 - x + x(y-1)t - x\sqrt{1 - 2(1+y)t + (1-y)^2 t^2}}{2(1 - x + x(x+y-1)t)}.$$

On a

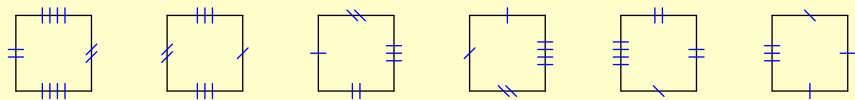
$$S_{n+1}(q) = \frac{1}{(1-q)^n(1-q^2)^n} A_n(1-q, q^2)$$

et, par comparaison des séries génératrices

$$A_n(1-q, q^2) = \frac{(1-q)^n(1+q^3)^{n-1}}{(1-q^2)^{n-1}} \ell_{n-1}\left(-\frac{q}{1-q+q^2}\right).$$

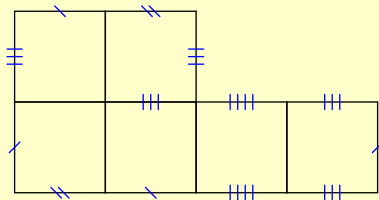
L'expression voulue en résulte.

Une surface à petits carreaux est une collection de carrés unifiés avec identifications de côtés opposés.



- Chaque côté supérieur est identifié à un unique côté inférieur;
- Chaque côté gauche est identifié à un unique côté droit.

On exige de plus que la surface obtenue après identifications soit connexe.

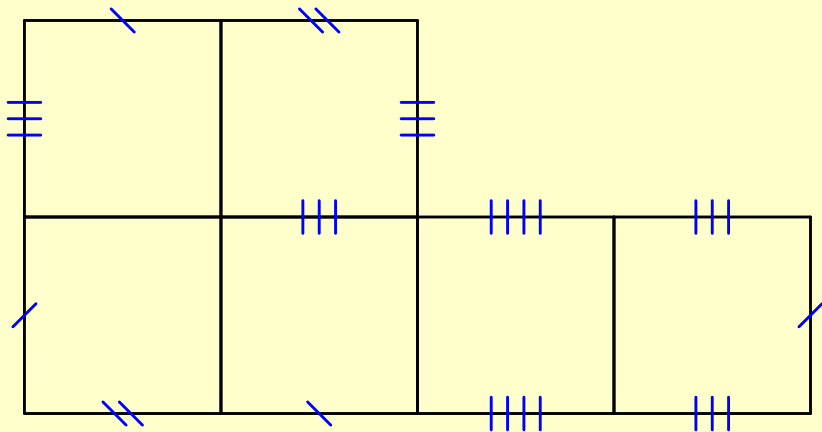


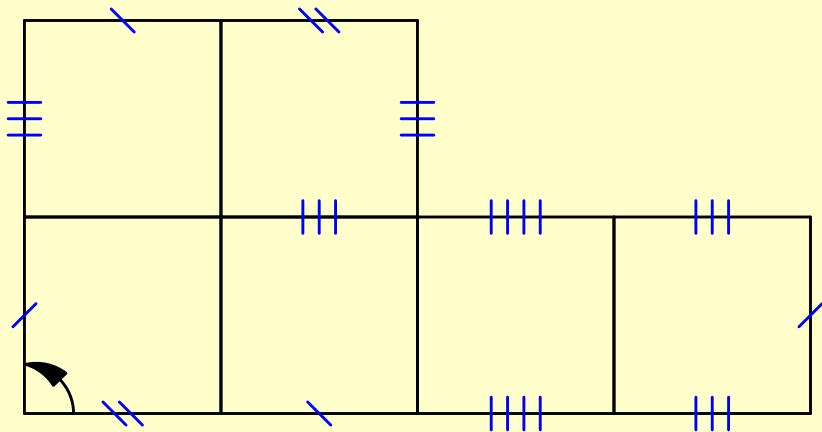
On obtient un revêtement ramifié du tore \mathbb{R}/\mathbb{Z} avec un seul point de ramification (l'origine du tore).

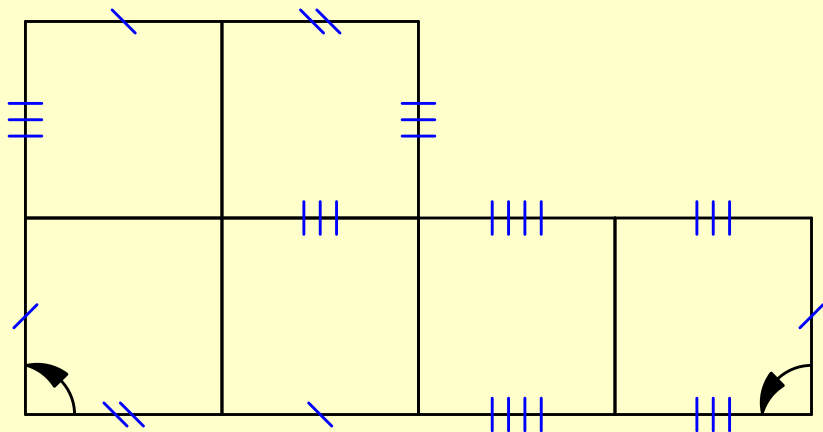
En notant $2\pi(k_i + 1)$ les angles des préimages de ce point de ramification, la formule de Riemann-Hürwitz implique que le genre g de la surface à petits carreaux est donné par

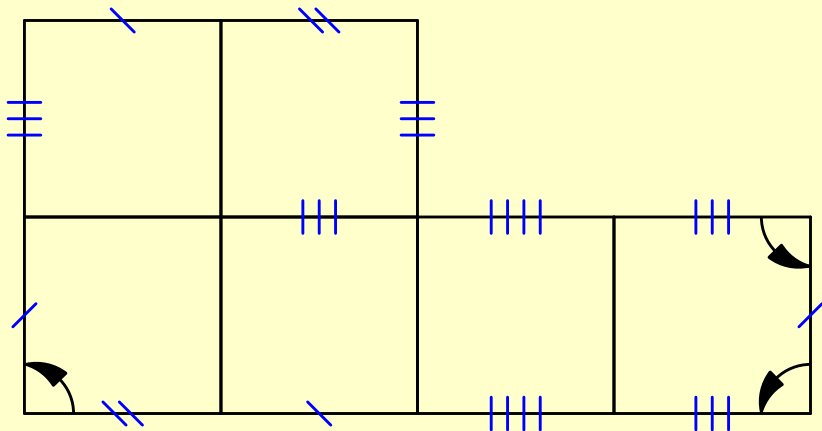
$$\sum_i k_i = 2g - 2.$$

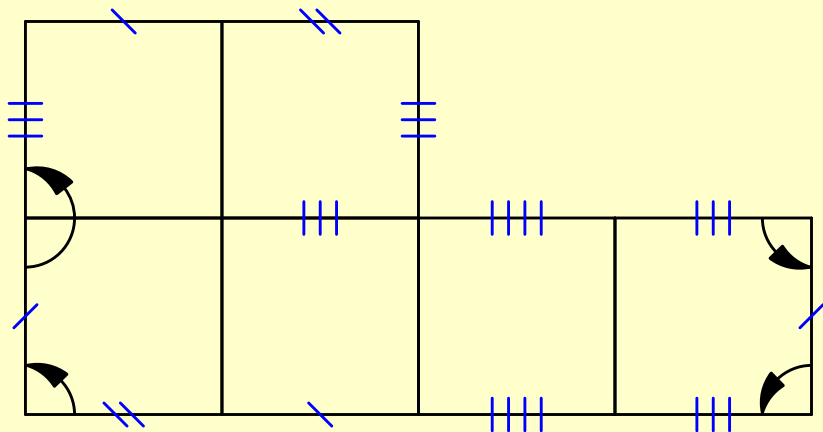
On note $\mathcal{H}(k_1, \dots, k_d)$ l'ensemble des surfaces (non équivalentes) d'angles $2\pi(k_i + 1)$.

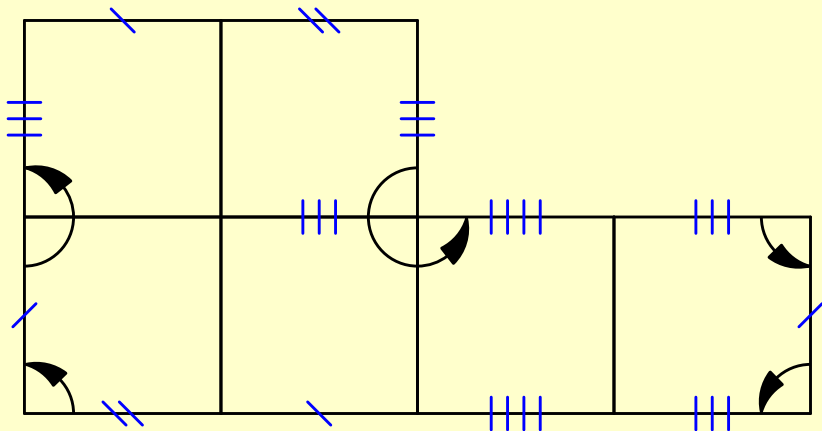


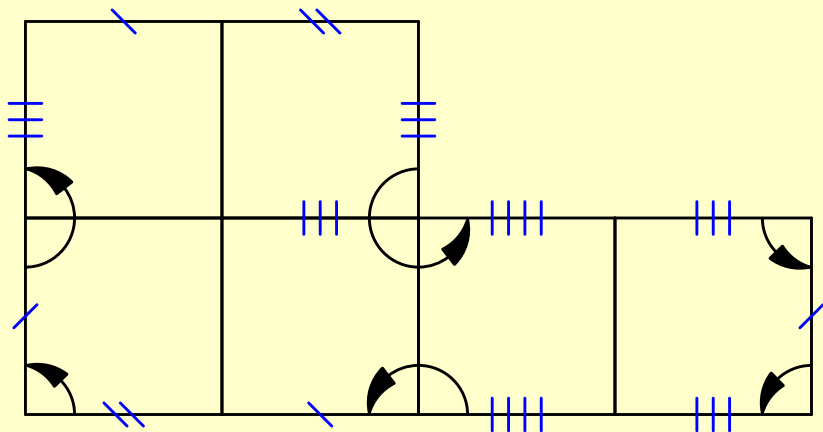


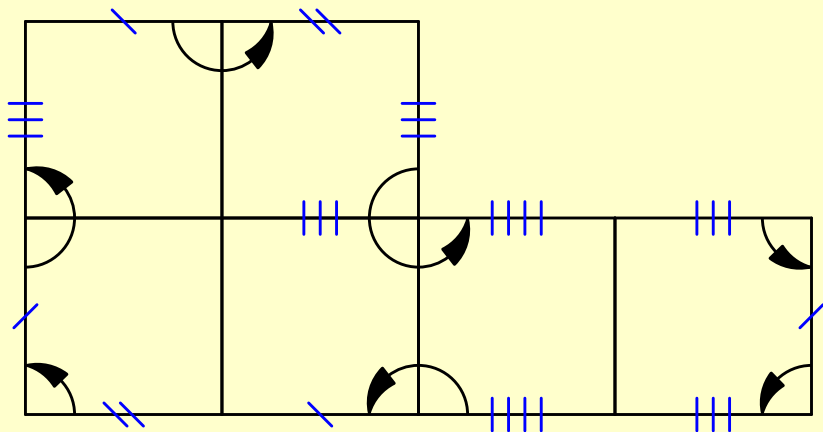




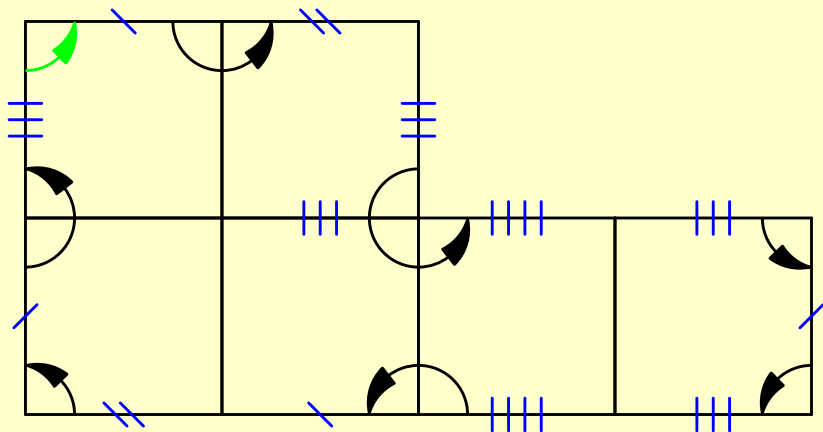




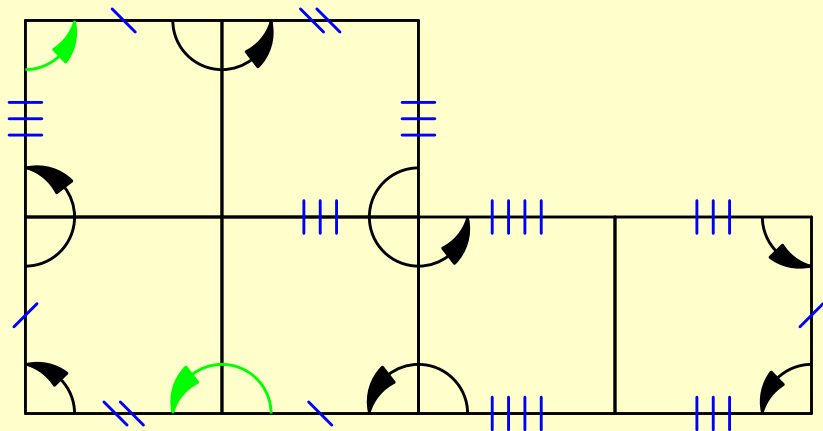




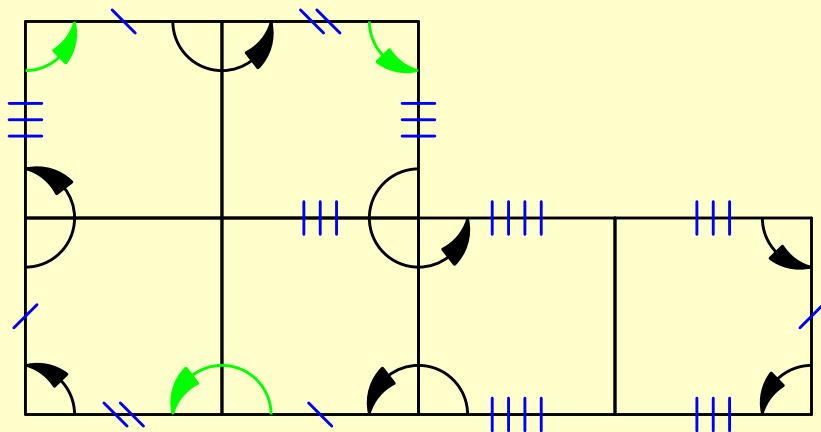
Un angle de 6π



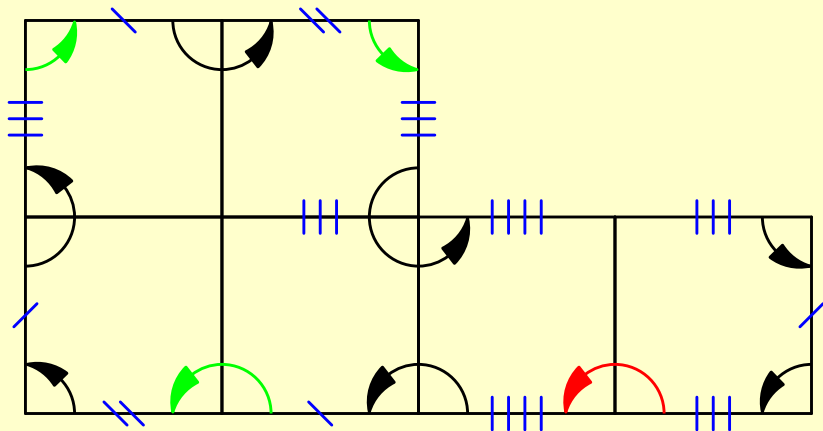
Un angle de 6π



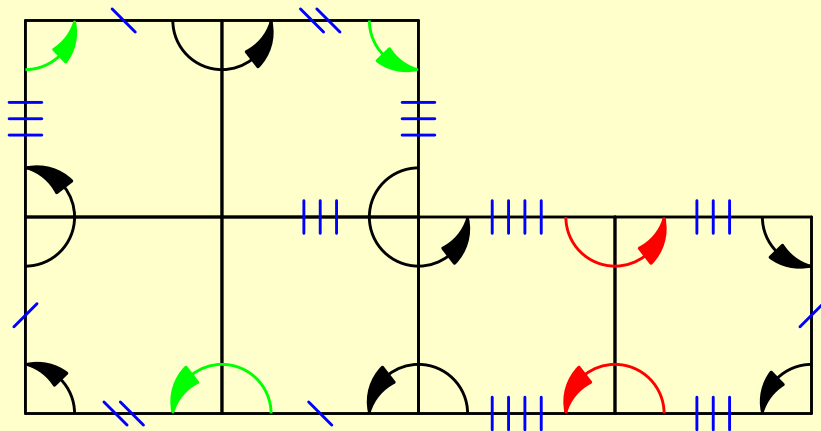
Un angle de 6π



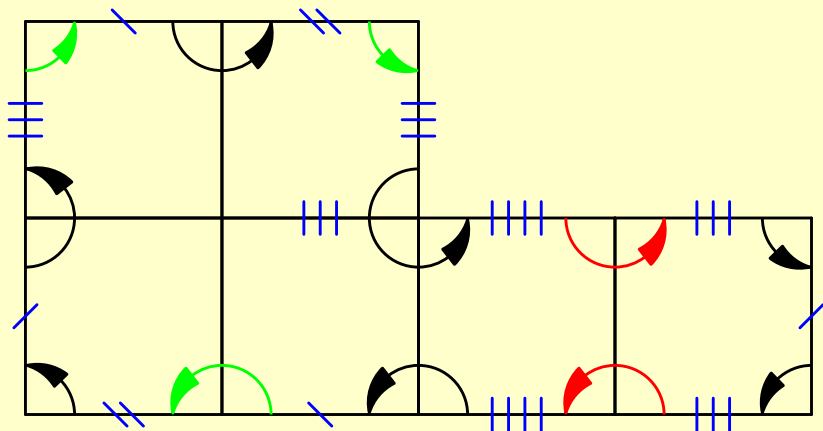
Un angle de 6π , un angle de 2π



Un angle de 6π , un angle de 2π



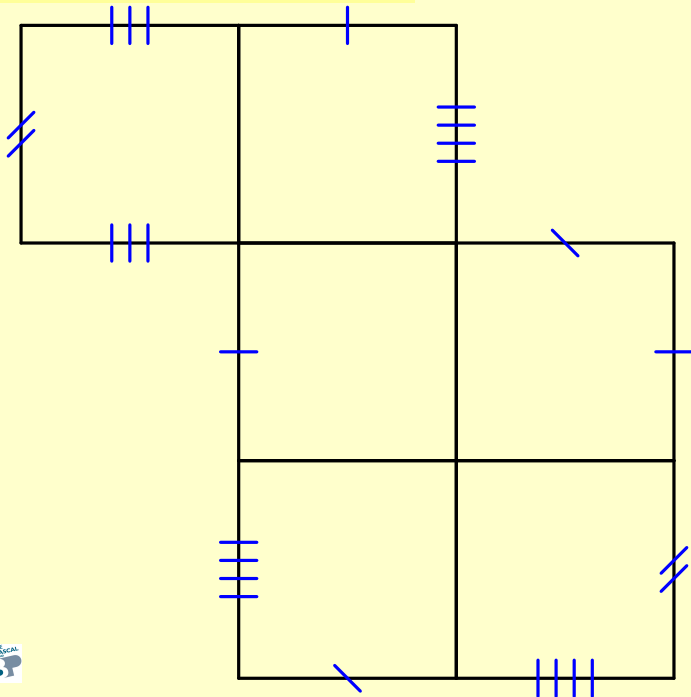
Un angle de 6π , un angle de 2π , un angle de 2π .



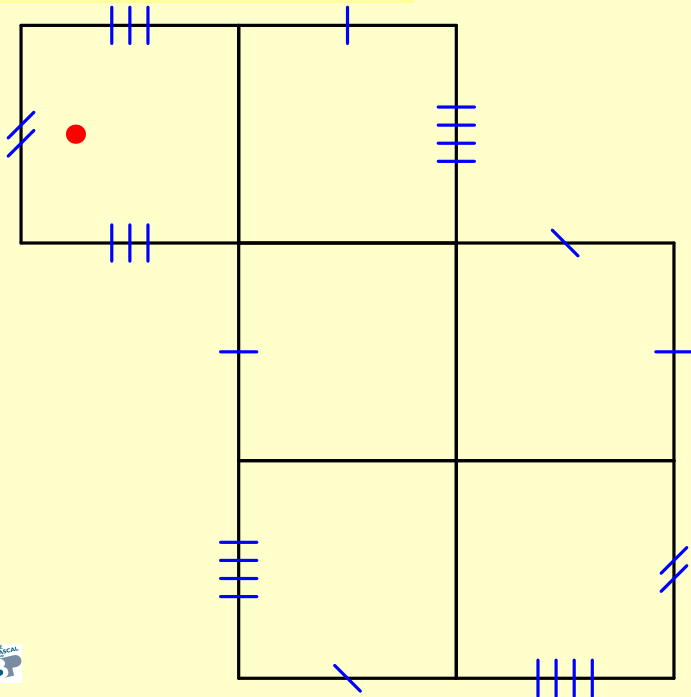
Un angle de 6π , un angle de 2π , un angle de 2π . Une seule préimage est critique, d'angle $6\pi = 2\pi(2 + 1)$ donc la surface est dans $\mathcal{H}(2)$.

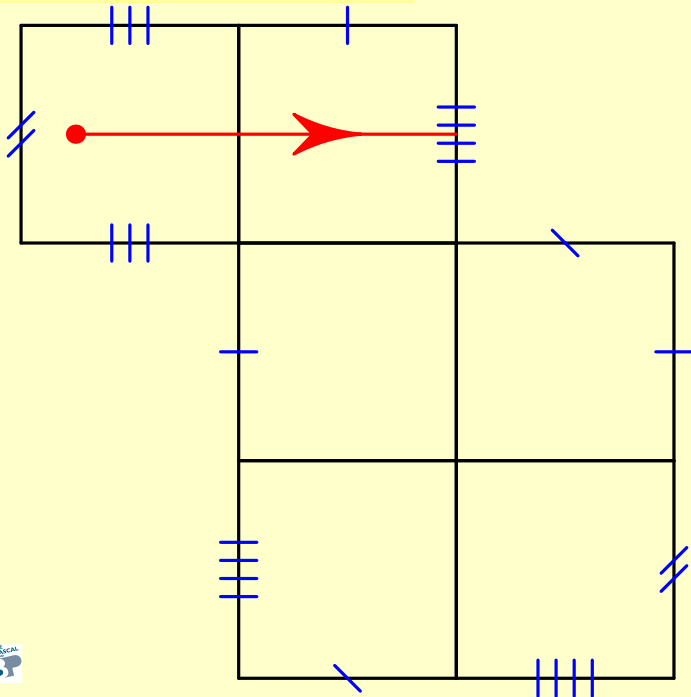
En traçant des géodésiques passant par les points intérieurs, il est possible de décomposer les surfaces de $\mathcal{H}(2)$ en cylindres. On obtient toujours un ou deux cylindres.

Surfaces à petits carreaux

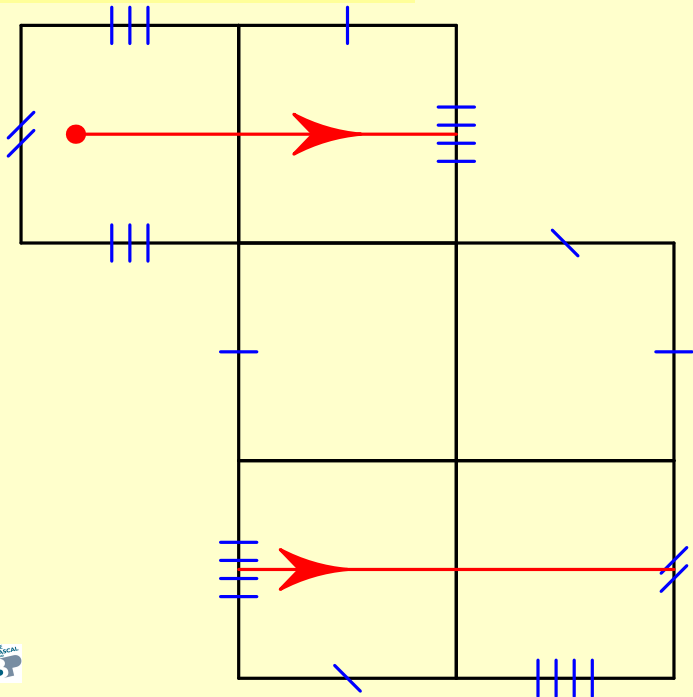


Surfaces à petits carreaux

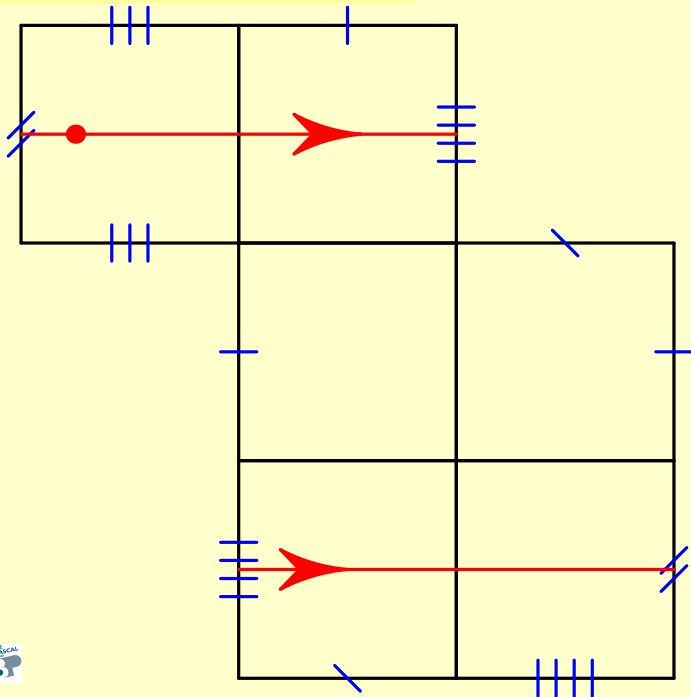


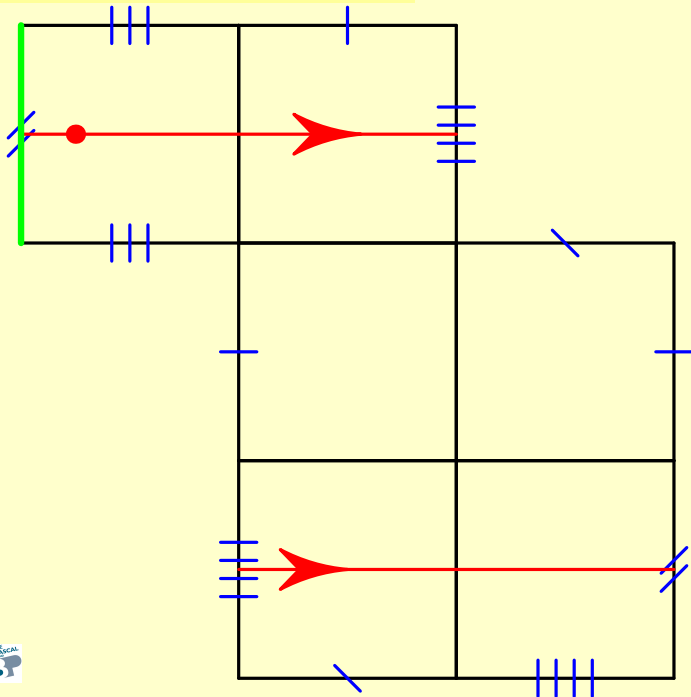


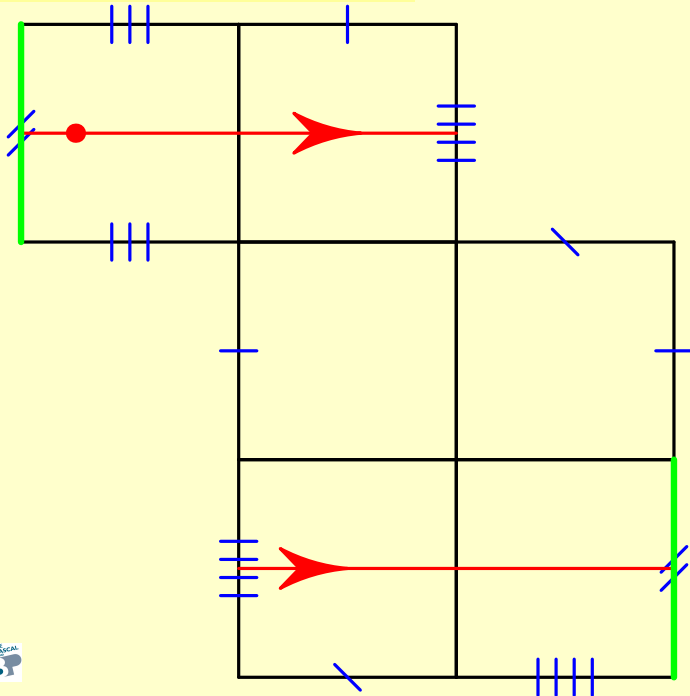
Surfaces à petits carreaux



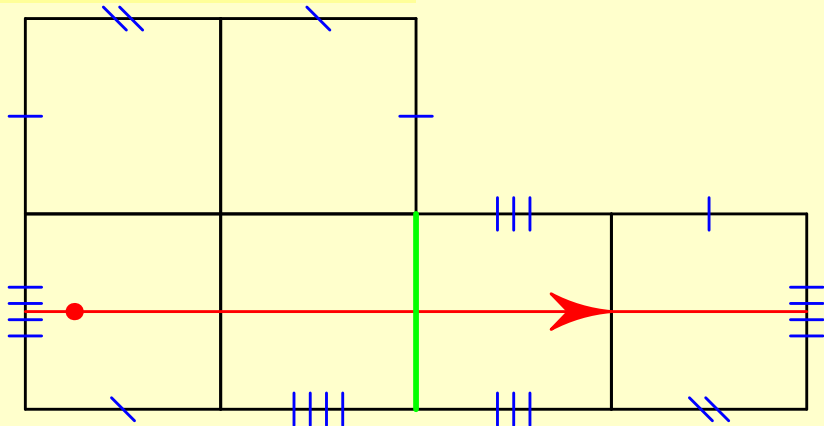
Surfaces à petits carreaux

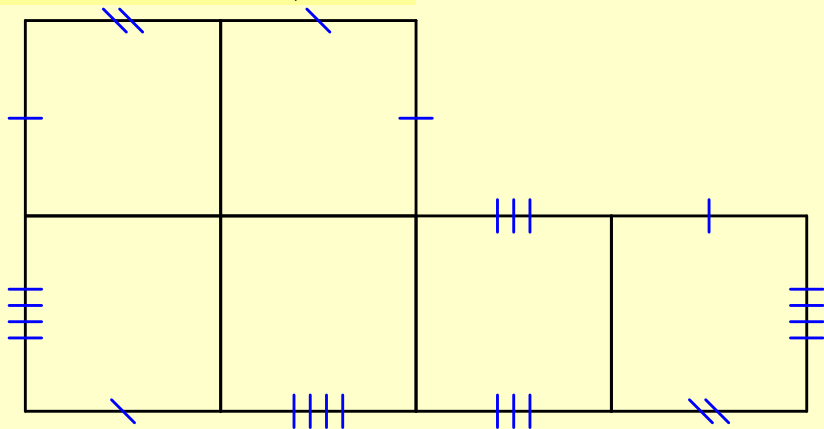






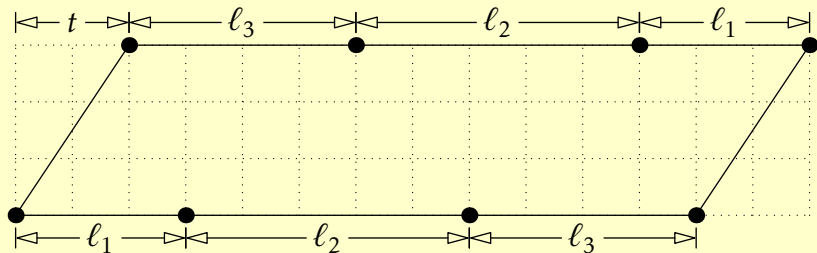
Surfaces à petits carreaux



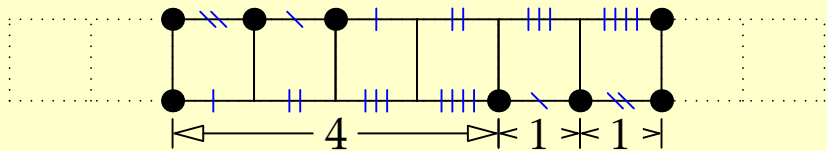


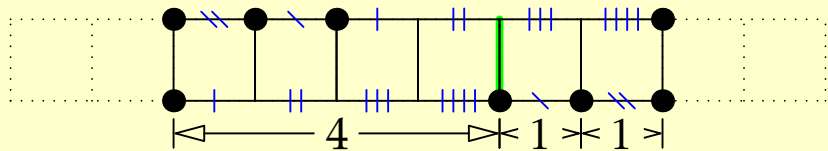
On obtient une surface à deux cylindres.

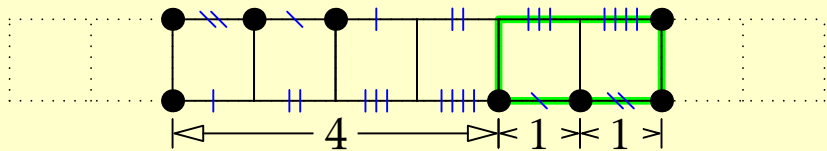
On introduit un paramétrage des surfaces de $\mathcal{H}(2)$ à un cylindre.

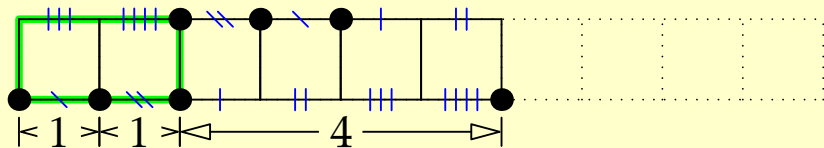


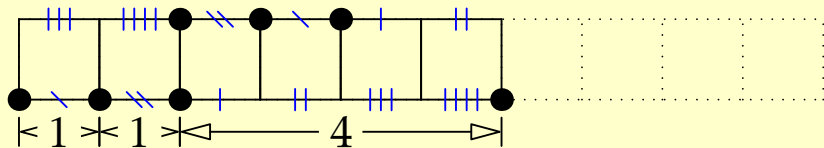
Le point représente le point d'angle 6π et (l_1, l_2, l_3) est minimal pour l'ordre lexicographique parmi (l_1, l_2, l_3) , (l_2, l_3, l_1) et (l_3, l_1, l_2) . Cela définit un paramètre de torsion t .

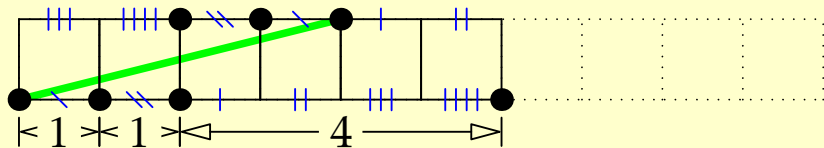


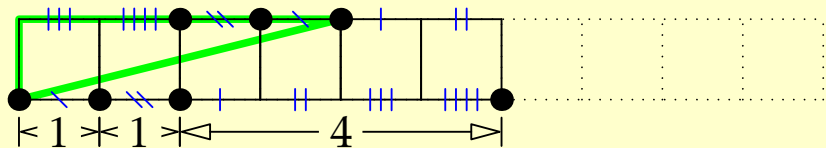


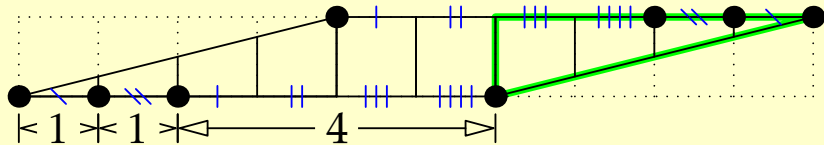


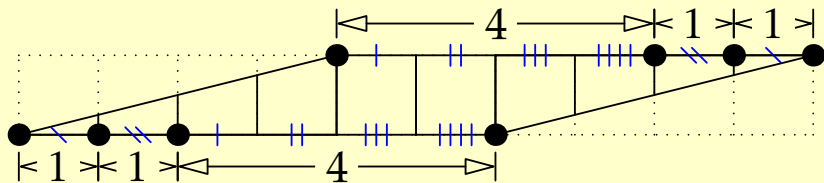


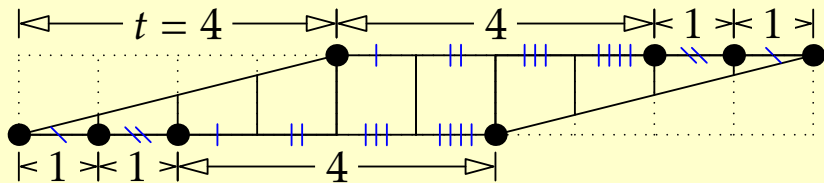












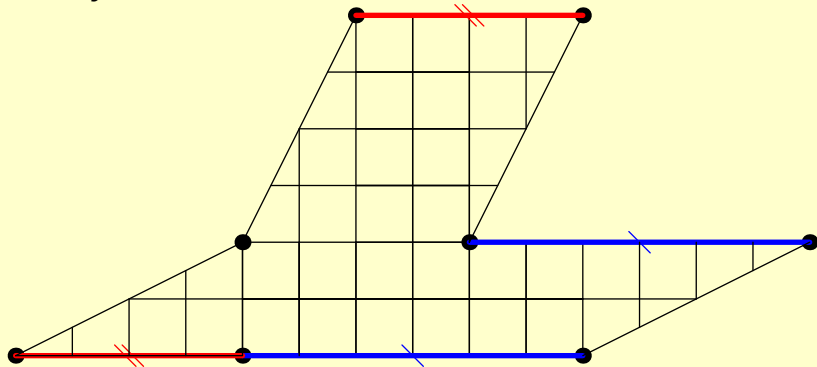
L'ensemble des surfaces de $\mathcal{H}(2)$ à un cylindre et n carreaux est donc paramétré par

$$\left\{ (\ell_1, \ell_2, \ell_3, t) \in \mathbb{N}^4 : \begin{array}{l} \ell_1 + \ell_2 + \ell_3 \mid n \\ (\ell_1, \ell_2, \ell_3) \text{ minimal} \\ t \in [0, \dots, \ell_1 + \ell_2 + \ell_3 - 1] \end{array} \right\}.$$

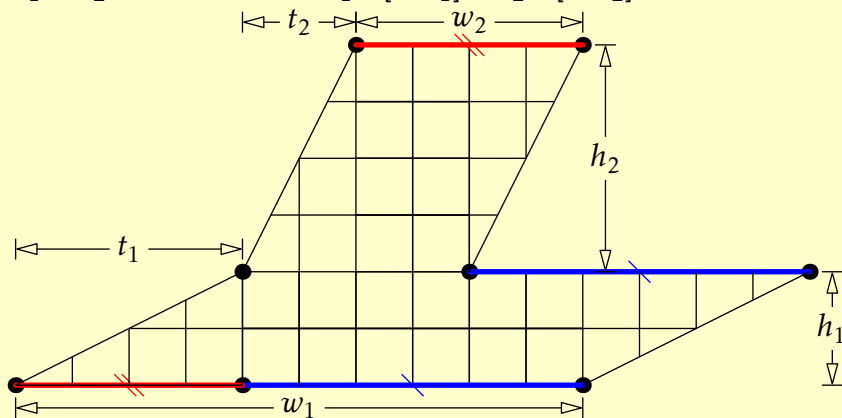
Le nombre de ces surfaces est

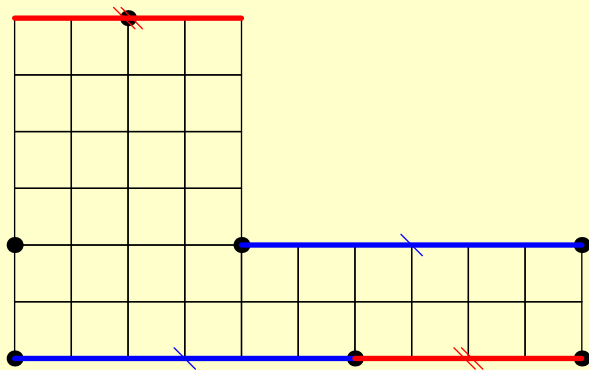
$$\frac{1}{3} \sum_{\ell \mid n} \sum_{\substack{(\ell_1, \ell_2, \ell_3) \in \mathbb{N}^3 \\ \ell_1 + \ell_2 + \ell_3 = n}} \ell = \frac{1}{6} \sigma_3(n) - \frac{1}{2} \sigma_2(n) + \frac{1}{3} \sigma_1(n).$$

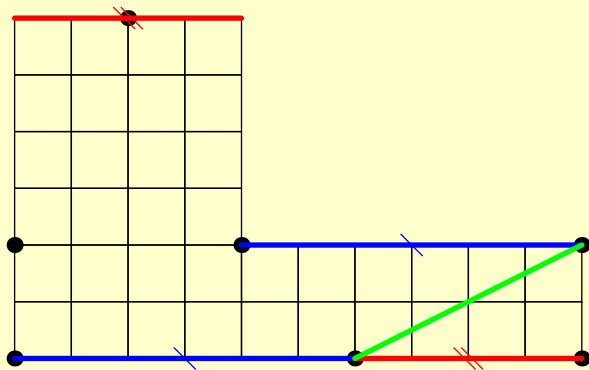
Par couper-coller, on peut transformer toute surface de $\mathcal{H}(2)$ à deux cylindres en une surface semblable à

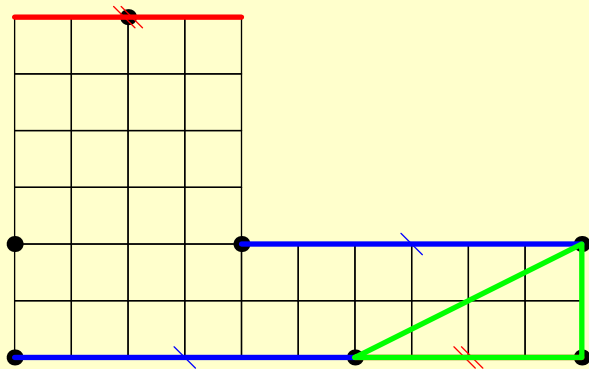


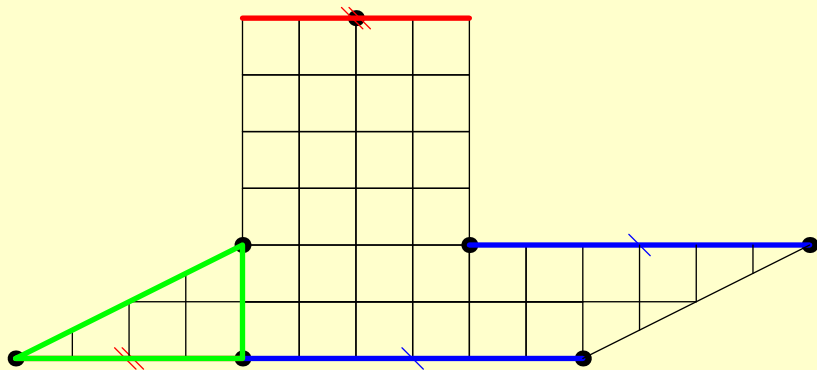
On peut alors définir deux hauteurs h_1 et h_2 , deux longueurs $w_1 > w_2$ et deux torsions $t_1 \in [0, w_1]$ et $t_2 \in [0, w_2]$.

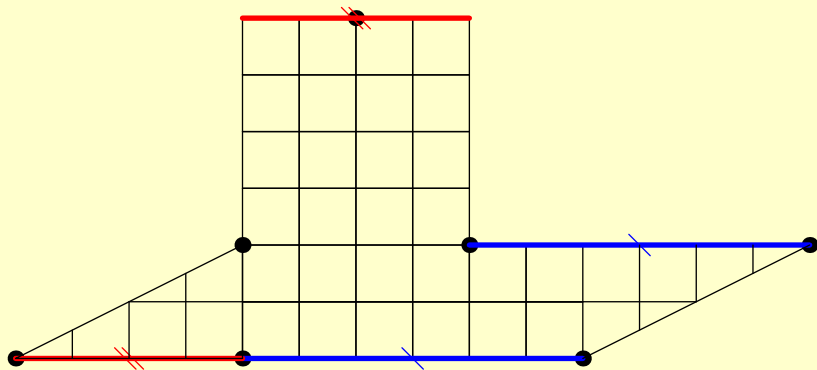


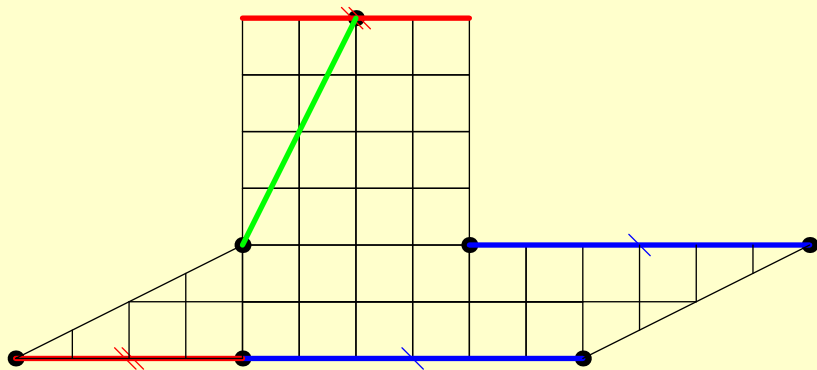


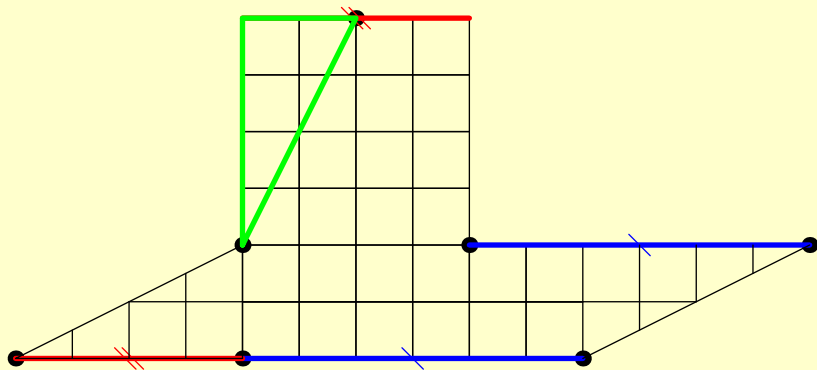


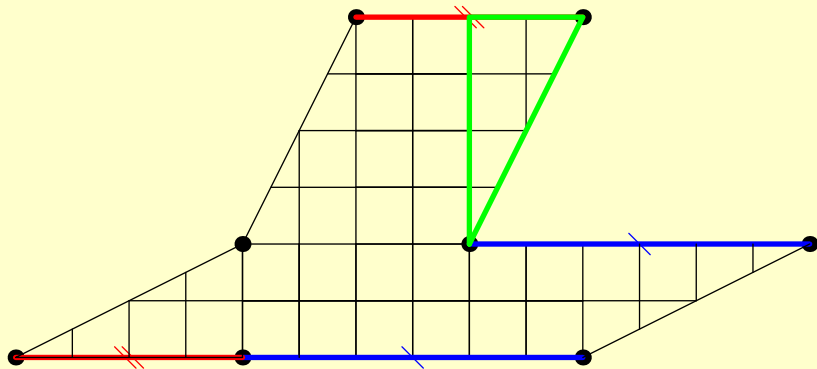


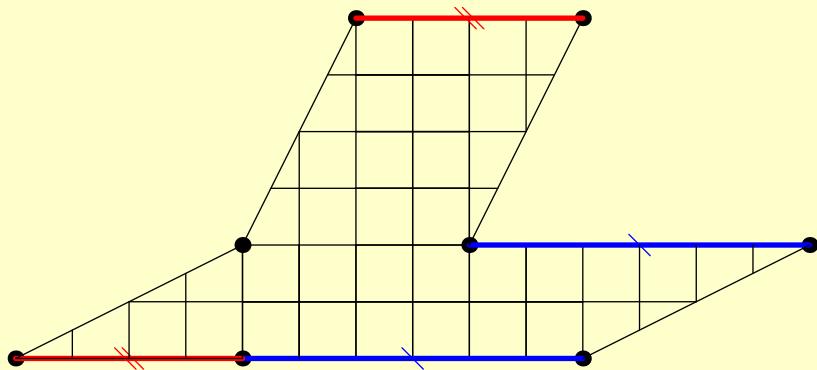


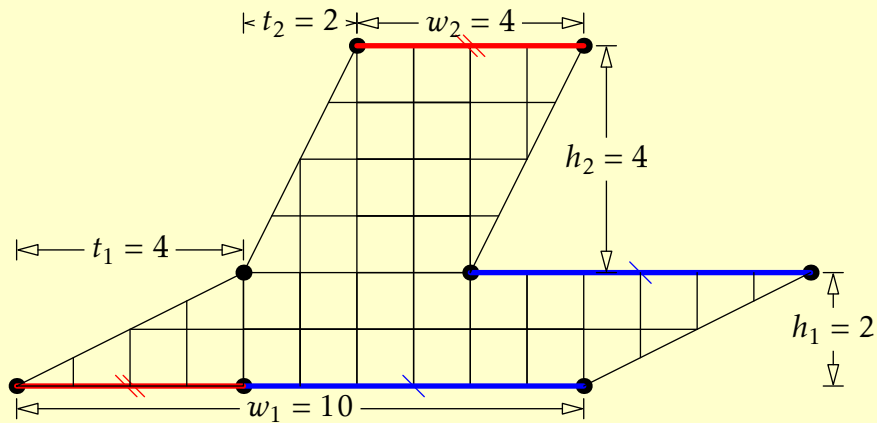












Le nombre total de surfaces de $\mathcal{H}(2)$ à deux cylindres et n carreaux est donc

$$\sum_{\substack{(h_1, h_2, w_1, w_2) \in \mathbb{N}^4 \\ w_1 > w_2 \\ h_1 w_1 + h_2 w_2 = n}} w_1 w_2 = \frac{1}{2} \sum_{s=1}^{n-1} \sigma_1(s) \sigma_1(n-s) - \frac{1}{2} n \sigma_1(n) + \frac{1}{2} \sigma_2(n)$$

et le nombre total de surfaces de $\mathcal{H}(2)$ à n carreaux est

$$e(n) = \frac{1}{6} \sigma_3(n) + \frac{1}{2} \sum_{s=1}^{n-1} \sigma_1(s) \sigma_1(n-s) - \frac{1}{2} n \sigma_1(n) + \frac{1}{3} \sigma_1(n).$$

Soit

$$E_2(z) = 1 - 24 \sum_{n=1}^{+\infty} \sigma_1(n) e^{2i\pi n z}$$

et

$$E_4(z) = 1 + 240 \sum_{n=1}^{+\infty} \sigma_3(n) e^{2i\pi n z}.$$

Soit

$$D = \frac{1}{2i\pi} \frac{d}{dz}.$$

Alors,

$$\sum_{n=1}^{+\infty} e(n) e^{2i\pi n z} = \frac{9}{640} + \frac{1}{1440} E_4 - \frac{1}{64} E_2 + \frac{1}{1152} E_2^2 + \frac{1}{48} D E_2.$$

Nous allons voir que cette fonction est une combinaison linéaire de formes quasimodulaires et utiliser ce fait pour obtenir une expression simplifiée de $e(n)$.

Une fonction holomorphe f sur le demi-plan de Poincaré ($\{z \in \mathbb{C} : \text{Im}z > 0\}$) est une forme quasimodulaire de poids k et de profondeur s s'il existe des fonctions holomorphes f_0, \dots, f_s ($f_s \neq 0$) telles que

$$(cz + d)^{-k} f\left(\frac{az + b}{cz + d}\right) = \sum_{j=0}^s f_j(z) \left(\frac{c}{cz + d}\right)^j$$

pour toute matrice $\begin{pmatrix} a & b \\ c & d \end{pmatrix} \in \text{SL}(2, \mathbb{Z})$. La fonction E_2 est une forme quasimodulaire de poids 2 et profondeur 1 :

$$(cz + d)^{-2} E_2\left(\frac{az + b}{cz + d}\right) = E_2(z) + \frac{6}{i\pi} \frac{c}{cz + d}.$$

On en déduit que E_2^2 est une forme quasimodulaire de poids 4 et profondeur 2. On en déduit aussi que $D(E_2)$ est une forme quasimodulaire de poids 4 et profondeur 2.

L'espace vectoriel sur \mathbb{C} des formes quasimodulaires de poids 4 et profondeur inférieure ou égale à 2 est de dimension 2. Une base est (E_4, DE_2) . On en déduit que

$$E_2^2 = E_4 + 12DE_2$$

puis que

$$\sum_{n=1}^{+\infty} e(n)e^{2i\pi nz} = \frac{1}{640} (9 - 10E_2(z) + 20DE_2(z) + E_4(z)).$$

Autrement dit,

$$e(n) = \frac{3}{8} (\sigma_3(n) - (2n-1)\sigma_1(n)).$$

Soit $\mathbb{Q}(\sqrt{D})$ le corps quadratique de discriminant D . On note \mathcal{C}_D son groupe des classes. Si \mathcal{I}_D est le groupe des idéaux fractionnaires de l'anneau des entiers de $\mathbb{Q}(\sqrt{D})$ et si \mathcal{P}_D est le sous-groupe des idéaux principaux, alors

$$\mathcal{C}_D = \mathcal{I}_D / \mathcal{P}_D.$$

On note \mathcal{P}_D^+ le sous-groupe de \mathcal{I}_D formé des idéaux principaux engendré par par élément de norme positive. Le groupe des classes au sens étroit de $\mathbb{Q}(\sqrt{D})$ est

$$\mathcal{C}_D^+ = \mathcal{I}_D / \mathcal{P}_D^+.$$

- Si $D > 0$, on a $\mathcal{C}_D = \mathcal{C}_D^+$.
- Si $D < 0$, c'est plus subtil. On note ε_D l'unité fondamentale de $\mathbb{Q}(\sqrt{D})$. Alors, $\mathcal{C}_D = \mathcal{C}_D^+$ si ε_D est de norme négative. Si ε_D est de norme positive, on a seulement

$$|\mathcal{C}_D^+| = 2|\mathcal{C}_D|.$$

Puisque le groupe C_D^+ est abélien fini, il est isomorphe à un produit du type

$$\bigoplus_{j=1}^{\ell} \mathbb{Z} / p_j^{\alpha_j} \mathbb{Z}$$

où les nombres premiers p_j peuvent ne pas être distincts.
Si p est premier, le p^k -rang de $\mathbb{Q}(\sqrt{D})$ est

$$\text{rk}_{p^k}(D) = \{i \in [1, \ell] : p_i = p \text{ et } \alpha_i \geq k\}.$$

Plus intrinsèquement,

$$\text{rk}_{p^k}(D) = \dim_{\mathbb{F}_p} (C_D^+)^{p^{k-1}} / (C_D^+)^{p^k}.$$

Le 2-rang est bien connu grâce à la théorie du genre :

$$\text{rk}_2(D) = \omega(D) - 1.$$

Pour le 3-rang, on a l'inégalité miroir suivante due à Scholz : si $D \geq 1$ est sans facteur carré, alors

$$\text{rk}_3(D) \leq \text{rk}_3(-3D) \leq \text{rk}_3(D) + 1.$$

Cet encadrement a été généralisé pour le 4-rang en 1970 par Damey & Payan. Si $D \geq 1$, alors

$$\text{rk}_4(D) \leq \text{rk}_4(-D) \leq \text{rk}_4(D) + 1.$$

L'objectif de cette partie d'exposé est de montrer l'encadrement de Damey & Payan en utilisant des techniques combinatoires appliquées à des formules de Fouvry & Klüners.
On se restreint à

$$D \geq 1 \quad D \equiv 1 \pmod{4}$$

mais des techniques semblables s'appliquent pour traiter tous les cas.

Comme D est un discriminant fondamental, notre restriction impose que D est sans facteur carré. Fouvry & Klüners ont établi les égalités

$$2^{\text{rk}_4(D)} = \frac{1}{2} \# \left\{ (a, b) \in \mathbb{N}^2 : D = ab, \begin{cases} -a \equiv \square \pmod{b} \\ b \equiv \square \pmod{a} \end{cases} \right\}$$

et

$$\begin{aligned} 2^{\text{rk}_4(-4D)} &= \frac{1}{2} \# \left\{ (a, b) \in \mathbb{N}^2 : D = ab, \begin{cases} a \equiv \square \pmod{b} \\ b \equiv \square \pmod{a} \end{cases} \right\} \\ &\quad + \frac{1}{2} \# \left\{ (a, b) \in \mathbb{N}^2 : D = ab, \begin{cases} 2a \equiv \square \pmod{b} \\ 2b \equiv \square \pmod{a} \end{cases} \right\} \end{aligned}$$

On introduit

$$\mathcal{E}_D(u, v) = \left\{ (a, b) \in \mathbb{N}^2 : D = ab, \begin{cases} ua \equiv \square \pmod{b} \\ vb \equiv \square \pmod{a} \end{cases} \right\}$$

de sorte que

$$2^{\text{rk}_4(D)} = \frac{1}{2} \# \mathcal{E}_D(-1, 1)$$

et

$$2^{\text{rk}_4(-4D)} = \frac{1}{2} \# \mathcal{E}_D(-1, 1) + \frac{1}{2} \# \mathcal{E}_D(2, 2).$$

Pour tous nombres premiers impairs distincts p et q , on définit $\alpha(p, q)$ et $\beta_u(p)$ dans \mathbb{F}_2 par

$$\left(\frac{p}{q}\right) = (-1)^{\alpha(p, q)} \quad \text{et} \quad \left(\frac{u}{p}\right) = (-1)^{\beta_u(p)}.$$

On écrit

$$D = \prod_{i=1}^{\omega(D)} p_i$$

où les nombres premiers p_i sont distincts. On encode chaque diviseur a de D par

$$\mathbf{x} = (x_1, \dots, x_{\omega(D)}) \in \mathbb{F}_2^{\omega(D)} \quad \text{avec} \quad \begin{cases} x_i = 1 & \text{si } p_i \mid a \\ x_i = 0 & \text{sinon.} \end{cases}$$

Soit $a \mid D$ et $b = D/a$. Étudions la condition $vb \equiv a \pmod{b}$. Elle est satisfaite si et seulement si vb est un carré modulo tout diviseur premier de a . Pour tout i tel que $x_i = 1$, on doit donc avoir

$$1 = \left(\frac{vb}{p_i} \right) = \left(\frac{v}{p_i} \right) \prod_{p \mid b} \left(\frac{p}{p_i} \right) = (-1)^{\beta_v(p_i) + \sum_{j \neq i} \alpha(p_j, p_i)(1-x_j)}$$

puisque

$$p_j \mid b \Leftrightarrow 1 - x_j \neq 0 \Leftrightarrow 1 - x_j = 1.$$

La condition $vb = \square \pmod{a}$ est donc

$$x_i = 1 \Rightarrow \beta_v(p_i) + \sum_{j \neq i} \alpha(p_j, p_i)(1 - x_j) = 0.$$

De façon identique, la condition $ua = \square \pmod{b}$ est

$$x_i = 0 \Rightarrow \beta_u(p_i) + \sum_{j \neq i} \alpha(p_j, p_i)x_j = 0.$$

Ces deux équations sont les deux faces d'une même équation

$$\beta_u(p_i)(1 - x_i) + \beta_v(p_i)x_i + \sum_{j \neq i} \alpha(p_j, p_i) [x_i(1 - x_j) + x_j(1 - x_i)] = 0.$$

Cette dernière équation équivaut à

$$\left(\beta_u(p_i) + \beta_v(p_i) + \sum_{j \neq i} \alpha(p_j, p_i) \right) x_i + \sum_{j \neq i} \alpha(p_j, p_i) x_j = \beta_u(p_i).$$

Notons $\mathcal{F}_D(u, v)$ l'espace affine défini par les $\omega(D)$ équations

$$\left(\beta_u(p_i) + \beta_v(p_i) + \sum_{j \neq i} \alpha(p_j, p_i) \right) x_i + \sum_{j \neq i} \alpha(p_j, p_i) x_j = \beta_u(p_i).$$

Alors,

$$\#\mathcal{E}_D(u, v) = \#\mathcal{F}_D(u, v).$$

On a

$$2^{\text{rk}_4(D)} = \frac{1}{2} \# \mathcal{E}_D(-1, 1) = \frac{1}{2} \# \mathcal{F}_D(-1, 1).$$

Comme $\beta_1 = 0$, l'espace $\mathcal{F}_D(-1, 1)$ contient le point $(1, \dots, 1)$ et est donc non vide. Ainsi,

$$\text{rk}_4(D) = \dim_{\mathbb{F}_2} \vec{\mathcal{F}}_D(-1, 1) - 1.$$

On a

$$2^{\text{rk}_4(-4D)} = \frac{1}{2} \# \mathcal{F}_D(1,1) + \frac{1}{2} \# \mathcal{F}_D(2,2).$$

Comme $\beta_1 + \beta_1 = \beta_2 + \beta_2$, les espaces affines $\mathcal{F}_D(1,1)$ et $\mathcal{F}_D(2,2)$ ont même direction. De plus, $\beta_1 = 0$ donc $\mathcal{F}_D(1,1)$ contient 0 et $\mathcal{F}_D(1,1) = \vec{\mathcal{F}}_D(1,1)$. On en tire

$$\frac{1}{2} \# \mathcal{F}_D(1,1) = 2^{\dim_{\mathbb{F}_2} \vec{\mathcal{F}}_D(1,1) - 1}.$$

Enfin,

- soit $\# \mathcal{F}_D(2,2) = 0$
- soit $\# \mathcal{F}_D(2,2) = 2^{\dim_{\mathbb{F}_2} \vec{\mathcal{F}}_D(2,2)} = 2^{\dim_{\mathbb{F}_2} \vec{\mathcal{F}}_D(1,1)}$.

Ainsi,

$$2^{\text{rk}_4(-4D)} \in \left\{ 2^{\dim_{\mathbb{F}_2} \vec{\mathcal{F}}_D(1,1)}, 2^{\dim_{\mathbb{F}_2} \vec{\mathcal{F}}_D(1,1) - 1} \right\}$$

et

$$\text{rk}_4(-4D) \in \left\{ \dim_{\mathbb{F}_2} \vec{\mathcal{F}}_D(1,1), \dim_{\mathbb{F}_2} \vec{\mathcal{F}}_D(1,1) - 1 \right\}.$$

On a donc

$$\mathrm{rk}_4(D) = \dim_{\mathbb{F}_2} \vec{\mathcal{F}}_D(-1, 1) - 1.$$

et

$$\mathrm{rk}_4(-4D) \in \left\{ \dim_{\mathbb{F}_2} \vec{\mathcal{F}}_D(1, 1), \dim_{\mathbb{F}_2} \vec{\mathcal{F}}_D(1, 1) - 1 \right\}.$$

On va montrer, par des méthodes arithmétiques, que

$$\dim_{\mathbb{F}_2} \vec{\mathcal{F}}_D(1, 1) = \dim_{\mathbb{F}_2} \vec{\mathcal{F}}_D(-1, 1)$$

pour conclure

$$\mathrm{rk}_4(-4D) \in \{\mathrm{rk}_4(D) + 1, \mathrm{rk}_4(D)\}.$$

On veut montrer

$$\dim_{\mathbb{F}_2} \vec{\mathcal{F}}_D(1, 1) = \dim_{\mathbb{F}_2} \vec{\mathcal{F}}_D(-1, 1).$$

Comme les espaces affines $\mathcal{F}_D(1, 1)$ et $\mathcal{F}_D(-1, 1)$ sont non vides, cela revient à montrer

$$\#\mathcal{E}_D(1, 1) = \#\mathcal{E}_D(-1, 1).$$

En posant

$$S_D(u, v) = \sum_{D=ab} \prod_{p|b} \left(1 + \left(\frac{ua}{p}\right)\right) \prod_{p|a} \left(1 + \left(\frac{vb}{p}\right)\right)$$

on a

$$\#\mathcal{E}_D(u, v) = 2^{-\omega(D)} S_D(u, v)$$

et il suffit donc de montrer que

$$S_D(1, 1) = S_D(-1, 1).$$

On a

$$S_D(u, v) = \sum_{D=a'b'} \sum_{\substack{c|a' \\ d|b'}} \left(\frac{ua'}{d}\right) \left(\frac{vb'}{c}\right) = \sum_{D=abcd} \left(\frac{ua}{d}\right) \left(\frac{vb}{c}\right) \left(\frac{c}{d}\right) \left(\frac{d}{c}\right).$$

La loi de réciprocité quadratique donne

$$\left(\frac{c}{d}\right) \left(\frac{d}{c}\right) = (-1)^{(c-1)(d-1)/4}.$$

Or,

$$\left(\frac{-1}{c}\right) = (-1)^{(c-1)/2} = (-1)^{\beta_{-1}(c)}$$

donc

$$\left(\frac{c}{d}\right) \left(\frac{d}{c}\right) = (-1)^{\beta_{-1}(c)\beta_{-1}(d)}$$

et

$$S_D(u, v) = \sum_{D=abcd} (-1)^{\beta_{-1}(c)\beta_{-1}(d) + \beta_u(d) + \beta_v(d)} \left(\frac{a}{d}\right) \left(\frac{b}{c}\right).$$

De

$$S_D(u, v) = \sum_{D=abcd} (-1)^{\beta_{-1}(c)\beta_{-1}(d)+\beta_u(d)+\beta_v(d)} \left(\frac{a}{d}\right) \left(\frac{b}{c}\right).$$

on déduit

$$\begin{aligned} S_D(1, 1) - S_D(-1, 1) &= \sum_{D=abcd} (-1)^{\beta_{-1}(c)\beta_{-1}(d)} [1 - (-1)^{\beta_{-1}(d)}] \left(\frac{a}{d}\right) \left(\frac{b}{c}\right) \\ &= 2 \sum_{\substack{D=abcd \\ \beta_{-1}(d)=1}} (-1)^{\beta_{-1}(c)} \left(\frac{a}{d}\right) \left(\frac{b}{c}\right). \end{aligned}$$

On échange les variables b et c dans l'une des deux copies de la somme et on trouve

$$S_D(1,1) - S_D(-1,1) = \sum_{\substack{D=abcd \\ \beta_{-1}(d)=1}} \left(\frac{a}{d}\right) \left[(-1)^{\beta_{-1}(c)} \left(\frac{b}{c}\right) + (-1)^{\beta_{-1}(b)} \left(\frac{c}{b}\right) \right].$$

Une nouvelle application de la loi de réciprocité quadratique conduit à

$$\begin{aligned} & S_D(1,1) - S_D(-1,1) \\ &= \sum_{\substack{D=abcd \\ \beta_{-1}(d)=1}} (-1)^{\beta_{-1}(c)} \left(\frac{a}{d}\right) \left(\frac{b}{c}\right) \left[1 + (-1)^{\beta_{-1}(b) + \beta_{-1}(c) + \beta_{-1}(b)\beta_{-1}(c)} \right] \end{aligned}$$

et donc

$$S_D(1,1) - S_D(-1,1) = 2 \sum_{\substack{D=abcd \\ \beta_{-1}(d)=1 \\ \beta_{-1}(b)=\beta_{-1}(c)=0}} \left(\frac{a}{d}\right) \left(\frac{b}{c}\right).$$

Comme $D \equiv 1 \pmod{4}$, on a

$$\left(\frac{-1}{D}\right) = 1$$

d'où

$$\beta_{-1}(a) + \beta_{-1}(b) + \beta_{-1}(c) + \beta_{-1}(d) = 0$$

et

$$S_D(1,1) - S_D(-1,1) = 2 \sum_{\substack{D=abcd \\ \beta_{-1}(d)=\beta_{-1}(a)=1 \\ \beta_{-1}(b)=\beta_{-1}(c)=0}} \left(\frac{a}{d}\right)\left(\frac{b}{c}\right).$$

Dans l'une des deux copies, on permute a et b . On obtient

$$S_D(1,1) - S_D(-1,1) = \sum_{\substack{D=abcd \\ \beta_{-1}(d)=\beta_{-1}(a)=1 \\ \beta_{-1}(b)=\beta_{-1}(c)=0}} \left(\frac{b}{c}\right) \left(\left(\frac{a}{d}\right) + \left(\frac{d}{a}\right) \right).$$

Or,

$$\left(\frac{a}{d}\right) \left(\frac{d}{a}\right) = (-1)^{\beta_{-1}(a)\beta_{-1}(d)} = -1$$

car $\beta_{-1}(d) = \beta_{-1}(a) = 1$ donc

$$S_D(1,1) - S_D(-1,1) = 0.$$